

## طراحی روشی برای تشخیص و دسته‌بندی خودکار نوع مدولاسیون‌های دیجیتال برپایه خوشه‌بندی هوشمند

مجتبی وحدانی<sup>۱</sup>، منصور نجاتی جهرمی<sup>۲\*</sup>، صدیقه غفرانی<sup>۳</sup>

۱- دانشجوی کارشناسی ارشد، ۲و۳- استادیار دانشگاه آزاد اسلامی واحد تهران جنوب

(دریافت: ۱۳۹۱/۰۴/۱۲، پذیرش: ۱۳۹۱/۱۱/۱۹)

### چکیده

این مقاله، روشی را برای کلاس‌بندی نوع مدولاسیون‌های دیجیتال از خانواده‌های FSK، PSK، ASK، بدون اطلاعات قبلی از سیگنال دریافتی پیشنهاد می‌دهد. این روش دارای دو گام است و "روش خوشه‌بندی" نام دارد. در گام اول خانواده مدولاسیون و در گام دوم مرتبه مدولاسیون مشخص می‌شود. با استفاده از روش خوشه‌بندی، حداقل پیش‌پردازش‌ها، مؤثرترین ویژگی‌های جداسازی و مناسب‌ترین جداسازها در مورد هر دسته استفاده گردیده و الگوریتم ژنتیک، برای بهبود عملکرد سیستم استفاده شده است. مزایای این روش، دقیق شناسایی بالا، سادگی، شناسایی کور و تعداد زیادتر مدولاسیون‌های کاندید نسبت به سایر روش‌های مشابه هستند.

**کلیدواژه‌ها:** کلاس‌بندی خودکار نوع مدولاسیون، روش خوشه‌بندی، ماشین بردار پشتیبان، الگوریتم ژنتیک.

## Design of a Method for Automatic Digital Modulation Classification Based on Intelligent Clustering

M. Vahdani, M. Nejati Jahromi<sup>\*</sup>, S. Ghofrani

Islamic Azad University, South Tehran Branch

(Received: 02/07/2012; Accepted: 07/02/2013)

### Abstract

This article proposes a method to classify digital modulation type from ASK, PSK and FSK groups, without prior information of received signal. This method has two steps and is called "clustering method". In the first step, the modulation group, and in the second step, modulation order is determined. Using clustering method, the least pre-processing, the most effective separation characteristics and appropriate classifiers was applied to each group and genetic algorithm has been used to improve system performance. The advantages of this method are high accuracy of identification, simplicity, blind identification and more modulation candidates compared to other similar methods.

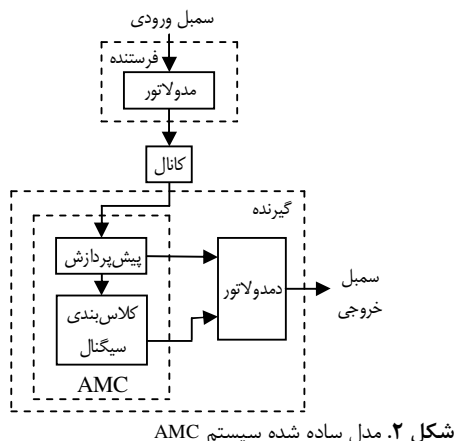
**Keywords:** Automatic Modulation Classification, Clustering Method, Support Vector Machines, Genetic Algorithm.

\* Corresponding Author E-mail: m\_nejati@azad.ac.ir

Passive Defence Sci. & Tech. 2013, 4, 329-337

در بعضی از روش‌ها، همه یا تعدادی از پارامترهای سیگنال دریافتی مانند فرکانس حامل، نرخ سمبل و... معلوم فرض می‌شوند و عمل شناسایی نوع مدولاسیون انجام می‌شود، درحالی که در برخی دیگر، عمل شناسایی به صورت کور (بدون هیچ دانش قبلی از پارامترهای سیگنال دریافتی) و با تخمین برخی پارامترهای ضروری سیگنال برای شناسایی، انجام می‌شود [۳]. یقیناً، بدون دانش قبلی از دیتای ارسالی و بسیاری پارامترهای سیگنال ارسالی مانند توان سیگنال، فرکانس حامل، انحراف فاز، اطلاعات زمان‌بندی و غیره، شناسایی کور مدولاسیون کاری مشکل خواهد بود. این کار، در محیط‌های حقیقی با دریافت از چند مسیر، کانال‌های انتخاب‌گر- فرکانسی و متغیر با زمان، بسیار سخت‌تر خواهد شد [۸].

با مطالعه روش‌های مختلفی که در مقالات مختلف ارائه شده‌اند، می‌توان مدل ساده شده سیستم AMC را به صورت شکل (۲) در نظر گرفت.



شکل ۲. مدل ساده شده سیستم AMC

بلوک AMC دارای دو بخش اصلی پیش‌پردازش و روش کلاس‌بندی است. کار پیش‌پردازش‌گر، افزایش کارآیی کلاس‌بندی کلاس‌بندی [۸] مرحله پیش‌پردازش بسیار مهم است و به روش کلاس‌بندی انتخاب شده مربوط می‌شود. وظایف پیش‌پردازشی ممکن است شامل فیلتر کردن برای کاهش نویز، تخمین فرکانس حامل، طول سمبل، توان سیگنال، متعددالسازی و... باشد، گرچه به این موارد محدود نمی‌شود. بسته به الگوریتم جداسازی انتخاب شده در مرحله کلاس‌بندی، وظایف پیش‌پردازشی با دقت‌های مختلفی مورد نیاز هستند. بعضی روش‌های جداسازی نیازمند تخمین‌های دقیق هستند، در صورتی که برخی دیگر به پارامترهای نامعلوم، کمتر حساس هستند [۲].

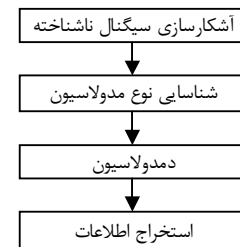
در روش کلاس‌بندی، دو دسته کلی از الگوریتم‌های کلاس‌بندی خودکار مدولاسیون، وجود دارند:

۱- همانندی بیشینه<sup>۳</sup>

۲- روش شناسائی الگو<sup>۴</sup>

## ۱. مقدمه

در زندگی روزمره، سیگنال‌های ناشناخته فراوانی همواره در اطراف ما در حال تبادل هستند. گاهی، به دلایل مختلف، نیازمند استخراج اطلاعات از این سیگنال‌ها هستیم. برای این کار، باید پردازش‌های مختلفی بر روی سیگنال ناشناخته دریافتی انجام بگیرد که گام نخستین آن، شناسایی نوع مدولاسیون سیگنال است. شناسایی خودکار نوع مدولاسیون، مرحله‌ای بین آشکارسازی سیگنال و دمودولاسیون آن است. این بخش، می‌تواند نوع مدولاسیون سیگنال دریافتی را در بین تعدادی مدولاسیون از پیش فرض شده، تشخیص دهد [۱]. در شکل (۱) جایگاه شناسایی نوع مدولاسیون نشان داده شده است.



شکل ۱. بلوک دیاگرام مراحل استخراج اطلاعات سیگنال دریافتی

شناسایی نوع مدولاسیون یا همان کلاس‌بندی نوع مدولاسیون، کاربردهای فراوانی دارد که با گسترش حوزه مدولاسیون‌ها، به ویژه مدولاسیون‌های دیجیتال، اهمیت روزافزونی نیز یافته است، از این رو پژوهش در این زمینه از دهه‌های گذشته تا به حال ادامه دارد. گستردگی ابعاد موضوع شناسایی و نیاز به روش‌هایی که در پیاده‌سازی، قابلیت اجرای بهنگام<sup>۱</sup> را داشته باشند، هنوز محققان را به دنبال راهکارهایی دقیق‌تر و سریع‌تر می‌کشاند. کاربردهای شناسایی خودکار نوع مدولاسیون را می‌توان به دو دسته کلی کاربردهای غیرنظمی و نظمی تقسیم کرد. از کاربردهای شناسایی خودکار نوع مدولاسیون در حوزه نظمی می‌توان به جنگ الکترونیک [۲ و ۱] و در حوزه غیرنظمی به مدیریت ترافیک شبکه، رادیو نرم‌افزاری و... [۳-۶] اشاره کرد.

کاربرد مشترکی که در هر دو گروه کاربردهای نظمی و غیرنظمی قرار می‌گیرد، ساخت فرستنده/گیرنده‌های هوشمند است که در آن، فرستنده بدون داشتن اطلاعات پیشینی از سیگنال ارسالی و با توجه به شرایط محیط و کanal ارتباطی، مناسب‌ترین نوع مدولاسیون را جهت ارسال اطلاعات انتخاب می‌کند و گیرنده نیز به صورت بلاذرنگ امکان تشخیص تغییرات نوع مدولاسیون را دارد [۷].

تاکنون روش‌های متعددی برای شناسایی خودکار نوع مدولاسیون یا AMC با فرضیات، مزیت‌ها و معایب مختلف پیشنهاد شده‌اند. مثلاً

<sup>3</sup> Maximum Likelihood  
<sup>4</sup> Pattern Recognition

<sup>۱</sup> Real-Time

<sup>۲</sup> Automatic Modulation Classification

ویژگی‌های استخراج شده به این حالت ایده‌آل نزدیک‌تر باشند، مستقل از نوع طبقه‌بندی کننده‌ای که استفاده می‌شود، دقت عملیات تشخیص بالاتر خواهد بود. بدین منظور اگر میانگین مقدار یک SNR در کلاس‌های مختلف رسم شود، تا حد زیادی کیفیت ویژگی تعریف شده مشخص خواهد شد. به منظور عملکرد مناسب‌تر ویژگی انتخاب شده در جداسازی مدولاسیون‌ها، باید تا حد امکان فاصله کلاس‌ها در فضای ویژگی از یکدیگر، بیشتر شود [۱]. ویژگی‌های انتخابی، می‌توانند ویژگی‌های سطح شکل موج (که از سیگنال فرکانس میانی استخراج شده‌اند) یا ویژگی‌های سطح سمبول (که می‌توانند در باند پایه استخراج شوند) باشند. ویژگی‌های سطح شکل موج نیز خود به دو دسته ویژگی‌های طیفی و لحظه‌ای تقسیم می‌شوند.

در زیرسیستم کلاس‌بند، از کلاس‌بندهای الگوی مختلف مانند شبکه عصبی مصنوعی [۳]، ماشین‌های بردار پشتیبان [۹ و ۱۱] و... می‌توان استفاده کرد.

روشی عملی برای تشخیص نوع مدولاسیون‌های CW، 2ASK، 2FSK، 2PSK، 4PSK، 4QAM، 8PSK و 8QAM استفاده از هیستوگرام دامنه، فاز و فرکانس و همچنین واریانس دامنه و فرکانس برای تشخیص است. روشی در زمینه تغوری تصمیم‌گیری برای جداسازی مدولاسیون‌های QPSK، BPSK ارائه شده که تنها پارامتر نامعلوم در نظر گرفته شده در آن فاز حامل است [۷]. یکی از این روش‌ها، از ویژگی‌های عبور از صفر<sup>۱</sup> برای جداسازی مدولاسیون‌های خانواده PSK/FSK استفاده می‌کند و همه پارامترهای سیگنال دریافتی را معلوم فرض می‌کند [۲].

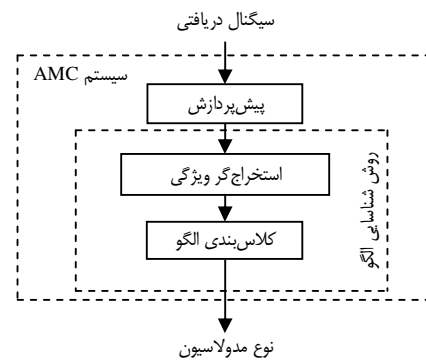
روش دیگری برای مدولاسیون‌های PSK/QAM با استفاده از آزمایش نسبت شباهت متوسط در کanal AWGN پیشنهاد شد. تنها پارامتر نامعلوم این روش، فاز حامل سیگنال دریافتی است [۷]. روشی نیز بر پایه آزمایش نسبت شباهت برای جداسازی سیگنال‌های QAM پیشنهاد شده است [۲]. روش دیگری بر پایه ممان‌های آماری فاز برای تشخیص خودکار مدولاسیون‌های خانواده PSK پیشنهاد شد که تمام پارامترهای سیگنال را معلوم فرض می‌کرد [۱۰].

از آخرین روش‌های ارائه شده در زمینه AMC، روش راب است [۳]. این روش، روشی بر پایه ویژگی است و از دو ویژگی تابع نمایی انحراف استاندارد فاز و انحراف استاندارد فاز درجه‌بندی شده با استفاده از پوش سیگنال، برای شناسایی مدولاسیون‌های BFSK، BPSK، 256QAM، 8QAM، QPSK، .64QAM، .16QAM و .8PSK استفاده می‌کند. کلاس‌بند مورد استفاده این روش نیز شبکه عصبی پرسپترون سه لایه است.

در بررسی عملکرد یک سیستم شناسایگر مدولاسیون، پارامترهای زیادی چون دقت تشخیص، شرایط و نوع کانال، مجموعه

روش اول، بر مبنای تئوری‌های تصمیم‌گیری و آشکارسازی است. در این روش با استفاده از معلومات موجود درباره آشکارساز بهینه، یک متغیر تصمیم‌گیری مطرح شده و برای تشخیص نوع مدولاسیون با یک سطح آستانه مقایسه می‌شود [۴]. هر مدولاسیون متغیر تصمیم‌گیری بهینه‌ای دارد که باعث کمینه شدن احتمال خطای تشخیص نوع مدولاسیون می‌شود. این روش، روش کلاسیک AMC بوده و از نظر کارآیی بهینه است ولی به علت پیچیده بودن متغیر تصمیم‌گیری، به طور معمول قابل پیاده‌سازی به صورت عملی نیست [۷].

در روش‌های شناسایی الگو، به طور معمول یک یا چند ویژگی از سیگنال دریافتی استخراج شده و یک تصمیم بر اساس مقادیر آن‌ها گرفته می‌شود. در واقع یک نگاشت از فضای سیگنال به فضای ویژگی‌های استخراجی انجام می‌شود و عمل تصمیم‌گیری در این فضا انجام می‌شود که بسیار ساده‌تر است. این روش در مقایسه با روش تصمیم‌گیری پیچیدگی کمتر داشته و به طور معمول به اطلاعات اضافی چندانی نیاز ندارد. گرچه ممکن است که این روش بهینه نباشد، ولی در صورت طراحی مناسب و انتخاب مناسب ویژگی‌ها، به طور معمول پیاده‌سازی راحت، همراه با کارآیی نزدیک بهینه (از نظر دقت شناسایی صحیح) خواهد داشت [۸ و ۲]. در گذشته کارآیی این روش کمتر از روش همانندی بیشینه بوده است، ولی امروزه با پیدا شدن کلاس‌بندهای مطمئن و تواناً مانند شبکه‌های عصبی، روش شناسایی الگو به روش متداول در تشخیص نوع مدولاسیون تبدیل شده است و روش‌هایی مختلف از نظر ویژگی‌های انتخاب شده و کلاس‌بندهای متفاوت پدید آمده است. این روش دارای دو زیر سامانه استخراج ویژگی و کلاس‌بندی است. بلوک ساده شده این روش در شکل (۳) نشان داده شده است.



شکل ۳. بلوک ساده شده روش شناسایی الگو

در زیرسیستم استخراج ویژگی، ویژگی یا ویژگی‌های انتخابی برای جداسازی مدولاسیون‌ها، از سیگنال دریافتی استخراج می‌شود. یک ویژگی ایده‌آل دارای خصوصیاتی مهم مانند ثابت بودن مقدار ویژگی در سیگنال به نویزهای مختلف، متفاوت بودن مقدار ویژگی برای هر یک از کلاس‌ها و پیچیدگی محاسباتی کم است. در عمل هرچه

<sup>۱</sup> Signal to Noise Ratio

<sup>۲</sup> Zero Crossing

$$\text{PSK: } s(t) = \operatorname{Re} \left[ g(t) e^{j\frac{2\pi(m-1)}{M}} e^{j2\pi f_c t} \right] \quad (3)$$

که  $\theta_m = \frac{2\pi(m-1)}{M}$  برابر با  $M$  حالت فاز حامل  $m = 1, 2, \dots, M$  ممکن است که اطلاعات را منتقل می کند.

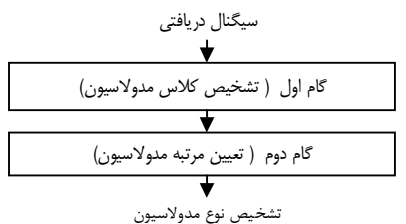
$$\text{FSK: } s(t) = \sqrt{\frac{2\varepsilon}{T}} \cos(2\pi f_c t + 2\pi m \Delta f t) \quad (4)$$

در رابطه (۴)،  $\varepsilon$  انرژی هر سمبول،  $T$  طول زمانی هر سمبول است و  $1 \leq m \leq M$ ،  $0 \leq t \leq T$  است. ضریب  $(2\varepsilon/T)^{1/2}$ ، این ضمانت را فراهم می کند که هر سیگنال، انرژی برابر با  $\varepsilon$  دارد.

شبیه سازی های این مقاله همگی در محیط نرم افزار Matlab، با شکل پالس مربعی، سرعت سمبول ۱۰ کیلو سمبول بر ثانیه، فرکانس حامل ۱۵۰ کیلو هرتز، سرعت نمونه برداری ۱/۵ مگا سمبول بر ثانیه و تولید یک قالب زمانی از سیگنال باند میانی با ۴۰۹۶ نمونه انجام شده است. این شرایط، به طور دقیق مشابه شرایط شبیه سازی های روش راب در نظر گرفته شده اند تا امکان مقایسه عادلانه دو روش پیشنهادی و روش راب فراهم شود. در نمودارهای گام اول و دوم روش پیشنهادی، تعداد ۱۰۰ سیگنال از هر مدولاسیون در هر سیگنال به نویز تولید شده و میانگین مقدار ویژگی های انتخابی برای هر مدولاسیون ترسیم شده است.

### ۳. روش پیشنهادی

پیاده سازی سیستم AMC به روش شناسایی الگو داری سه بخش، پیش پردازش، استخراج ویژگی و کلاس بند است. روش پیشنهادی در این مقاله دارای دو گام است، به گونه ای که در گام اول، کلاس کلی مدولاسیون و در گام دوم مرتبه مدولاسیون مشخص می شود و این سه بخش برای هر دو گام انجام خواهد شد. بلوک دیاگرام کلی روش پیشنهادی به صورت شکل (۴) است.



شکل ۴. بلوک دیاگرام روش پیشنهادی

#### ۱-۱. گام اول

در ابتدا باید ویژگی هایی برای تشخیص کلاس مدولاسیون ها انتخاب شوند. در این گام، دو ویژگی F1 و F2 مطابق روابط (۵) و (۶) انتخاب شده اند.

$$F1 = \frac{1}{N} \sum_{i=1}^N |A_i| \quad (5)$$

$$F2 = \operatorname{Var}[DPL] \quad (6)$$

مدولاسیون های موجود در محیط، وجود و یا عدم وجود اطلاعات قلی از فرستنده سیگنال و... دخیل هستند. بهمین دلیل است که مقایسه نتایج روش های مختلف تنها در شرایط کاملاً مشابه محیطی امکان پذیر است [۱۰ و ۱]. بنابراین، در شرایط به طور کامل مشابه، روشی که نیاز به کمترین اطلاعات اولیه و کمترین حجم پردازش داشته باشد و با دقت مناسب، عمل شناسایی را در میان تعداد بیشتری مدولاسیون انجام دهد، طبیعتاً روش بهتری خواهد بود. اغلب روش هایی که حجم پیش پردازش های زیادی را طلب می کنند، از دقت خوبی نیز برخوردارند و روش های با اطلاعات مورد نیاز کم و پیش پردازش های اندک، از دقت مناسبی برخوردار نیستند.

در این مقاله سعی شده است تا روشی برای شناسایی الگو برای تشخیص خودکار نوع مدولاسیون های دیجیتال پیشنهاد شود که علاوه بر داشتن سادگی و قابلیت پیاده سازی عملی، دقت شناسایی بالایی را فراهم کند.

### ۲. فرضیات و مدل سازی

روش پیشنهادی در این مقاله، روشی برای ویژگی و بدون اطلاعات قبلی از سیگنال دریافتی، برای شناسایی مدولاسیون های دیجیتال از خانواده های ASK<sup>۱</sup>، FSK<sup>۲</sup> و PSK<sup>۳</sup> پس از عبور از کانال AWGN<sup>۴</sup> است. فرضیات روش پیشنهادی در جدول (۱) آمده است.

جدول ۱. فرضیات روش پیشنهادی

نوع کانال	اطلاعات قبلی از سیگنال	مدولاسیون ها	نوع روش
-	ASK,PSK,FSK	برای ویژگی	

کانال مخابراتی حاوی نویز سفید گوسی جمع شونده، است. بنابراین سیگنال ارسالی توسط فرستنده مولده می شود و پس از عبور از کانال، با نویز گوسی سفید مخلوط شده و در حالی که هیچ اطلاعاتی از فرستنده آن در دست نیست، وارد بلاک گیرنده می شود. این سیگنال باند میانی  $(t)f$  به صورت رابطه (۱) مدل می شود:

$$f(t) = s(t) + n(t) \quad (1)$$

که در آن،  $s(t)$  سیگنال ارسالی و  $n(t)$  نویز سفید گوسی جمع شونده با واریانس  $\sigma_n^2$  و ناهمبسته با سیگنال  $s(t)$  فرض شده است. مدل مدولاسیون هایی که سیگنال باند میانی  $(t)s$  می تواند داشته باشد در روابط (۲) تا (۴) آمده اند [۱۱]:

$$\text{ASK: } s(t) = \operatorname{Re} [A_m g(t) e^{j2\pi f_c t}] = A_m g(t) \cos(2\pi f_c t) \quad (2)$$

که در  $s(t)$  شکل پالس  $g(t)$ ،  $A_m = 1, 2, \dots, M$ ،  $1 \leq m \leq 2^k$  است. مدل مدولاسیون هایی که فرکانس حامل است.  $f_c$  و  $f_c$  انتخاب شده و  $f_c$  فرکانس حامل است.

<sup>1</sup> Amplitude Shift Keying

<sup>2</sup> Phase Shift Keying

<sup>3</sup> Frequency Shift Keying

<sup>4</sup> Additive White Gaussian Noise

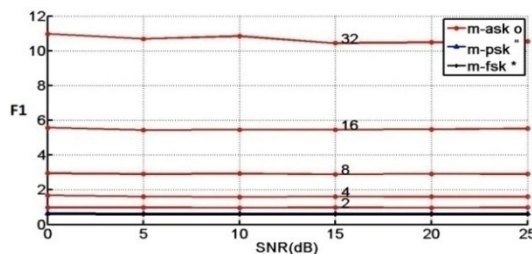
است. در نهایت برای تعیین مرتبه مدولاسیون‌های FSK نیز ویژگی به صورت رابطه (۸) ارائه می‌شود:

$$F4 = \frac{1}{N} \sum_{i=1}^N f_i \quad (8)$$

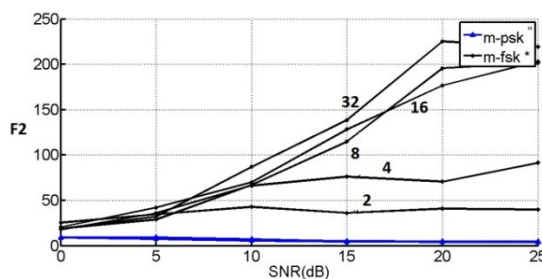
که در آن،  $N$  تعداد نمونه‌ها و  $f_i$  فرکانس نمونه‌ها است. این ویژگی قابلیت جداسازی خوبی داشته و با ویژگی  $F3$  نیز هم‌خوانی دارد و نیازی به پیش‌پردازش‌های جدآگاههای ندارد. نمودار ویژگی  $F4$  برای مدولاسیون‌های FSK از مرتبه ۲ تا ۳۲ در شکل (۹) نشان داده شده است.

در شکل‌های (۸) و (۹) نیز مرتبه‌ی مدولاسیون‌ها بر روی منحنی مریبوطه آن‌ها مشخص شده است.

ویژگی انتخاب شده برای تشخیص مرتبه مدولاسیون‌های ASK، FSK و PSK دارای مقادیر یکسانی از ویژگی  $F3$  که برای نیاز به پیش‌پردازش خاصی ندارد. برای محاسبه ویژگی  $F3$  که برای تشخیص مرتبه مدولاسیون‌های PSK به کار می‌رود، نیاز به فاز نمونه‌های سیگنال بهتر است. برای استخراج فاز سیگنال، باید سیگنال باند میانی به سیگنال باندپایه تبدیل شود و بردن سیگنال باندیمانی به باندپایه نیاز به تخمین فرکانس حامل است. وجود خطأ در تخمین فرکانس حامل، دقت نهایی سیستم را تحت تأثیر قرار می‌دهد. بنابراین باید روشی را انتخاب کرد که دارای دقت مناسب و پیچیدگی محاسباتی قابل قبولی باشد. در این پژوهش برای تخمین فرکانس حامل از روش تخمین LSE<sup>۱</sup> فارلحظه‌ای سیگنال دریافتی استفاده شده است [۱].



شکل ۵. نمودار ویژگی F1 برای مدولاسیون‌های ASK و PSK و FSK



شکل ۶. نمودار ویژگی F2 برای مدولاسیون‌های PSK و FSK

در روابط (۵) و (۶)،  $N$  تعداد نمونه‌های سیگنال دریافتی،  $A_i$  دامنه نمونه‌های سیگنال،  $Var$  نماد واریانس و  $DPL$  نماد تفاضل مکان پیک‌های سیگنال است که برای بدست آوردن آن، ابتدا مکان پیک‌های متولی محاسبه می‌شود. ویژگی  $F1$  قادر به جداسازی و تعیین مرتبه مدولاسیون‌های ASK و ویژگی  $F2$  قادر به جداسازی مدولاسیون‌های PSK از FSK است. نمودار ویژگی‌های F1 و F2 بر حسب سیگنال به نویزهای مختلف (۰-۲۵ dB) و مدولاسیون‌های کاندیدا (M=۲-۳۲) برای سه خانواده FSK، ASK و PSK به ترتیب در شکل‌های (۵) و (۶) نشان داده شده است.

در شکل (۵)، دیده می‌شود که مدولاسیون‌های خانواده PSK و FSK دارای مقادیر یکسانی از ویژگی F1 هستند و به راحتی می‌توان آن‌ها را از مدولاسیون‌های ASK جدا کرد. همچنین مرتبه‌های مختلف مدولاسیون‌های ASK نیز با این ویژگی قابل تشخیص و جداسازی هستند. مرتبه‌های مختلف مدولاسیون‌های در روی منحنی مربوط به آن‌ها در شکل (۵) نشان داده شده است.

در شکل (۶) نیز دیده می‌شود که مدولاسیون‌های خانواده PSK همگی دارای مقادیر یکسانی از ویژگی F2 بوده و می‌توان آن‌ها را از مدولاسیون‌های FSK جدا کرد. مزیت بسیار مهم این ویژگی‌ها، دارا بودن خصوصیات ویژگی خوب و عدم نیاز به پیش‌پردازش است که باعث بی‌نیاز شدن روش پیشنهادی از تخمین‌ها و پردازش‌های اضافی در این گام است.

همچنین به علت کیفیت خوب ویژگی‌های انتخابی، می‌توان از جداساز آستانه‌ای به عنوان طبقه‌بندی کننده یا کلاس‌بند استفاده کرد. برای بررسی عملکرد روش پیشنهادی در این مرحله، از هر مدولاسیون ۱۰۰ فریم در هر یک از سیگنال به نویزهای ۰-۲۵ dB به عنوان داده آزمایشی تولید و پس از استخراج ویژگی و عبور از طبقه‌بندی کننده، نوع مدولاسیون آن‌ها تعیین می‌شود. درصد تشخیص صحیح هر کلاس در بخش نتایج آورده شده است. فلوچارت گام اول به صورت شکل (۷) است.

### ۳. گام دوم

پس از مشخص شدن کلاس مدولاسیون دریافتی، نوبت به تعیین مرتبه مدولاسیون می‌رسد. با توجه به توانایی ویژگی F1 در تشخیص مرتبه مدولاسیون‌های خانواده ASK، در این گام نیز از همان ویژگی F1 استفاده می‌شود. برای تشخیص مرتبه مدولاسیون‌های خانواده PSK، ویژگی F3 مطابق با رابطه (۷) پیشنهاد می‌شود:

$$F3 = Var[DFS] \quad (7)$$

که در آن،  $Var$  نماد واریانس و  $DFS$  نماد تفاضل فاز نمونه‌های متولی سیگنال دریافتی است. نمودار ویژگی F3 برای مدولاسیون‌های PSK (M=۲-۳۲) در شکل (۸) نشان داده شده

<sup>۱</sup> Least Square Estimation

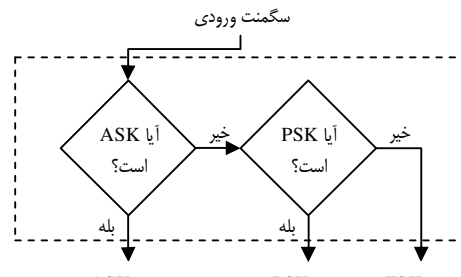
پهنهای باند سیگنال های دریافتی بیشتر است و خطر حذف سیگنال وجود ندارد [۱]. ویژگی F4، نیاز به محاسبه فرکانس سیگنال دارد. محاسبه فرکانس سیگنال، با استفاده از مدل گستره مشتق تابع فاصله انجام می شود. در اینجا نیز از فیلتر کردن برای بهبود سیگنال به نوبت استفاده می شود.

با توجه به ویژگی های انتخابی، از جداساز آستانه ای برای تعیین مرتبه مدولاسیون های ASK و از طبقه بندی کننده SVM<sup>۲</sup> سلسله مراتبی جهت تعیین مرتبه مدولاسیون های PSK و FSK استفاده می شود. ماشین بردار پشتیبان، یک الگوریتم مدل سازی قدرتمند است که می تواند در مسائل تشخیص الگو مورد استفاده قرار گیرد و بر مبنای تکنیک<sup>۳</sup> SRM به حل مسائل می پردازد [۱۲]. در این تکنیک، با ثابت نگه داشتن میزان ریسک خطا، فاصله بین کلاس ها در فضای ویژگی حداکثر می شود. در این الگوریتم برای داده هایی که امکان جداسازی خطی وجود دارد، یک فوق صفحه<sup>۴</sup> در فضای ویژگی<sup>۵</sup> تعریف می شود و سپس پارامتر های آن بر مبنای تکنیک ذکور، بهینه می شوند [۱].

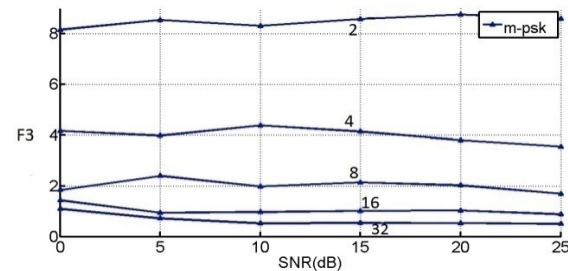
در مسائل غیرخطی، بردارهای ورودی تحت یک نگاشت از قبل تعیین شده و با استفاده از یک تابع غیرخطی، به فضای ویژگی N بعدی انتقال می یابند، تا یک ابرصفحه N بعدی خطی تفکیک کننده ساخته شود. با استفاده از کرنل های مختلف می توان روش های فراگیری ماشینی مختلفی با انواع سطوح تصمیم گیری دلخواه ساخت. ماشین بردار پشتیبان، همواره به یک کمینه مطلق همگرا می شود و برخلاف سایر طبقه بندی کننده های هوشمند چون شبکه های عصبی، همواره دارای جواب یکتا خواهد بود [۱۲]. دو پارامتر اصلی یک کلاس بند SVM، مقدار فاصله اطمینان بین کلاس ها و نوع کرنل استفاده شده هستند. متدائل ترین توابع کرنل، توابع خطی، چندجمله ای و گوسی می باشند.

در اینجا با توجه به شرایط ویژگی های انتخابی، کرنل خطی برای جداسازی انتخاب می شود. کرنل خطی به هیچ پارامتری نیاز ندارد [۱] و مقدار فاصله اطمینان، بر مبنای مقادیر پیش فرض انتخاب شده در برخی الگوریتم های تشخیص الگو، به صورت عددی حقیقی در بازه (۰-۸) متغیر فرض شده است [۱۲]. برای آموزش ساختار طبقه بندی کننده، از مجموعه داده های دو نسبت سیگنال به نویز ۱۰ dB و ۲۰ dB استفاده شده است که به منظور بهبود عملکرد کلاس بند است. مرحله آزمایش این گام نیز همانند گام اول انجام می شود.

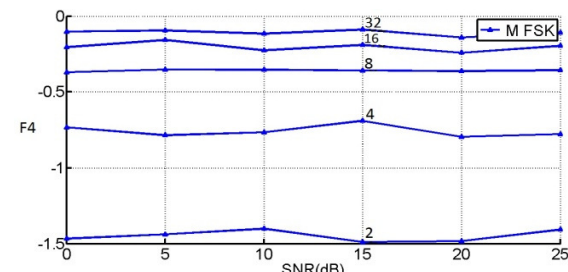
بلوک دیاگرام کلی روش پیشنهادی در شکل (۱۰) آورده شده است. در این گام به منظور بهینه سازی عملکرد سیستم، از الگوریتم ریتیک برای انتخاب پارامتر های ساختاری کلاس بند به صورت هوشمند، استفاده می شود. بدین منظور خطای تشخیص به عنوان تابع



شکل ۷. فلوچارت گام اول



شکل ۸. نمودار ویژگی F3 برای مدولاسیون های PSK



شکل ۹. نمودار ویژگی F4 برای مدولاسیون های FSK

پس از تخمین فرکانس حامل، باید سیگنال را به باند پایه منتقل کرد. بدین منظور از روش<sup>۱</sup> I/Q دمدولاتور استفاده کرده و برای محاسبه فاز سیگنال از روش تائزانت معکوس ترم معتمد I/Q دمدولاتور به ترم هم فاز آن استفاده می شود.

همچنین به منظور کاهش اثر نویز و بهبود نسبت سیگنال به نویز، از یک فیلتر باند میانی استفاده می شود. به هر میزان که در فیلتر کردن توان نویز کم شود، می توان امیدوار بود که درصد تشخیص صحیح به همان نسبت افزایش یابد. انتخاب دقیق محدوده فیلتر شدن، نیاز به پارامتر هایی چون پهنهای باند سیگنال و فرکانس حامل دارد. می توان با تخمین فرکانس حامل، محدوده تقریبی فیلتر را مشخص کرد. انتخاب صحیح پارامتر های فیلتر، نقش اساسی در این کار دارد، زیرا در صورت انتخاب اشتباه محدوده فیلتر شدن، امکان حذف شدن سیگنال اصلی نیز وجود دارد. از آنجا که به طور معمول، فرکانس حامل بسیار بیشتر از دو برابر پهنهای باند سیگنال ارسالی است، می توان بازه ( $f_c - \frac{1}{2}f_c, f_c + \frac{1}{2}f_c$ ) را به عنوان محدوده فیلتر کردن انتخاب کرد (فرکانس حامل تخمینی) که به طور قطعی از

<sup>2</sup> Support Vector Machines<sup>3</sup> Structural Risk Minimization<sup>4</sup> Hyper-Plane<sup>5</sup> Feature Space<sup>1</sup> In-Phase/ Quadrature

با توجه به جدول (۳)، در  $\text{SNR} = 0\text{dB}$  که کمترین میزان سیگنال به نویز در شبیه‌سازی‌هاست، کمترین دقت تشخیص در خانواده ASK مربوط به مدولاسیون 2ASK با ۹۶٪، در خانواده PSK برای مدولاسیون 32PSK با ۹۴٪ و در خانواده FSK مربوط به مدولاسیون 32FSK با ۹۵٪ است.

جدول (۴) بهبود دقت شناسایی پس از به کارگیری الگوریتم ژنتیک را نشان می‌دهد، به گونه‌ای که حداقل درصد شناسایی صحیح ۹۶٪ برای مدولاسیون 32PSK در  $\text{SNR} = 0\text{dB}$  برای خانواده ASK متواتس درصد تشخیص صحیح در  $\text{SNR} = 0\text{dB}$  برای خانواده FSK برابر ۹۸٪، برای خانواده PSK برابر ۹۷٪ و برای خانواده FSK برابر ۹۹٪ است. نتایج نشان می‌دهند که روش پیشنهادی، برای تمام مدولاسیون‌های کاندید، درصد شناسایی بالایی را حتی در نسبت‌های سیگنال به نویز پائین فراهم می‌کند.

مقایسه روش پیشنهادی با روش راب: روش راب [۳] از آخرین کارهای ارائه شده در زمینه AMC است و از آنجایی که روش پیشنهادی در این مقاله در شرایط و فرضیات بهطور کامل یکسان با این روش انجام شده است، مقایسه دو روش امکان‌پذیر است. دقت شناسایی صحیح نوع مدولاسیون‌ها توسط روش راب به صورت جدول (۵) است. روش راب به شناسایی هشت نوع مدولاسیون می‌پردازد که چهار نوع آن‌ها با مدولاسیون‌های کاندید در روش پیشنهادی در این مقاله یکسان هستند (BPSK، QPSK، 8PSK و BFSK). بنابراین مقایسه را می‌توان در مورد دقت شناسایی این چهار نوع مدولاسیون انجام داد.

مقایسه روش پیشنهادی در این پژوهش با روش راب در سه زمینه دقت شناسایی، سادگی روش و تعداد مدولاسیون‌های کاندید روش انجام می‌شود.

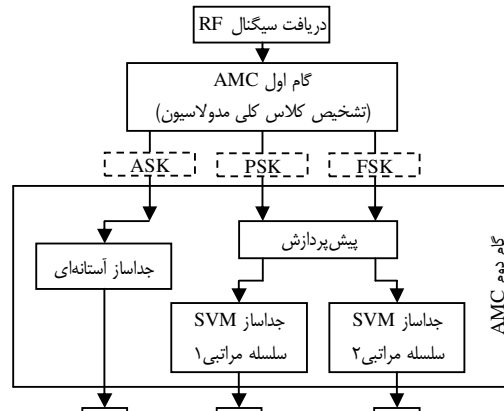
جدول ۲. نتایج شبیه‌سازی گام دوم قبل از بهینه‌سازی

$\text{SNR} = 10\text{dB}$	$\text{SNR} = 5\text{dB}$	$\text{SNR} = 0\text{dB}$	مدولاسیون
۹۱٪	۹۸٪	۹۶٪	2ASK
۹۱٪	۹۹٪	۹۷٪	4ASK
۹۱٪	۱۰٪	۹۹٪	8ASK
۹۱٪	۱۰٪	۱۰٪	16ASK
۹۱٪	۱۰٪	۱۰٪	32ASK
۹۱٪	۱۰٪	۱۰٪	2PSK
۹۱٪	۱۰٪	۱۰٪	4PSK
۹۱٪	۹۹٪	۹۸٪	8PSK
۹۹٪	۹۷٪	۹۵٪	16PSK
۹۸٪	۹۶٪	۹۴٪	32PSK
۹۱٪	۱۰٪	۱۰٪	2FSK
۹۱٪	۱۰٪	۱۰٪	4FSK
۹۱٪	۹۹٪	۹۸٪	8FSK
۹۱٪	۹۷٪	۹۶٪	16FSK
۹۹٪	۹۷٪	۹۵٪	32FSK

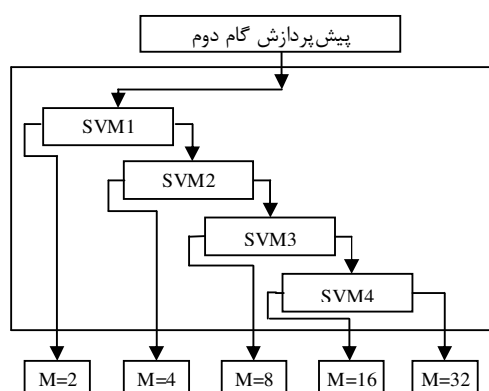
هدف برای الگوریتم ژنتیک در نظر گرفته می‌شود. برای انتخاب پارامترهای ساختاری الگوریتم ژنتیک (تعداد نسل، جمعیت هر نسل و...) نیز از مقادیر معمول این پارامترها در مثال‌های جعبه ابزار بهینه‌سازی نرم‌افزار Matlab استفاده شده است (تعداد نسل برابر ۵۰ نسل و اندازه جمعیت برابر ۲۰ فرد). نتایج این بهینه‌سازی در بخش نتایج آورده خواهند شد. بلوک دیاگرام داخلی SVM سلسله مراتبی استفاده شده در گام دوم به صورت شکل (۱۱) است.

#### ۴. نتایج شبیه‌سازی‌ها

پس از انجام شبیه‌سازی‌ها با شرایط مورد اشاره، نتایج گام اول در جدول (۳)، نتایج گام دوم قبل از بهینه‌سازی در جدول (۴) و نتایج گام دوم پس از بهینه‌سازی در جدول (۴) نشان داده شده است. جدول (۴) نشان می‌دهد که روش پیشنهادی در گام اول با دقت صد درصد، کلاس مدولاسیون‌ها را تشخیص داده و آن‌ها را خوبه‌بندی می‌کند.



شکل ۱۰. بلوک دیاگرام کلی روش پیشنهادی



شکل ۱۱. بلوک دیاگرام داخلی SVM سلسله مراتبی

جدول ۲. نتایج شبیه‌سازی گام اول

$\text{SNR} = 10\text{dB}$	$\text{SNR} = 5\text{dB}$	$\text{SNR} = 0\text{dB}$	کلاس
۹۱٪	۹۱٪	۹۱٪	MASK
۹۱٪	۹۱٪	۹۱٪	MPSK
۹۹٪	۹۱٪	۹۱٪	MFSK

فاز درجه بندی شده با استفاده از پوش سیگنال است. مقاله ENV. φ<sub>N</sub> روش راب، در مورد میزان محاسبات روش پیشنهادی و پیش پردازش های مورد نیاز خود، توضیحاتی را ارائه نکرده است، بنابراین مقایسه دقیق دو روش از نظر میزان سادگی امکان پذیر نیست و در این زمینه تنها می توان به توضیحات کلی اکتفا نمود، به طور مثال اینکه در هر دو روش از ویژگی های لحظه ای استفاده می شود.

با توجه به این که کلاس بند مورد استفاده روش راب، شبکه عصبی مصنوعی (پرسپترون چند لایه) است و در روش پیشنهادی این مقاله، با تقسیم AMC به دو گام و انجام خوش بندی، از ترکیب کلاس بند آستانه ای و ماشین های بردار پشتیبان استفاده می شود، می توان گفت که روش پیشنهادی دارای سادگی و عملکرد بهتر نسبت به روش راب است.

تعداد مدولاسیون های کاندید: از نظر تعداد مدولاسیون های کاندید، روش راب قادر به جداسازی هشت نوع مدولاسیون از سه خانواده است، به طوری که سه مدولاسیون از خانواده PSK، یک مدولاسیون از خانواده FSK و چهار مدولاسیون از خانواده QAM هستند. در روش پیشنهادی این مقاله، پانزده نوع مدولاسیون از سه خانواده (پنج مدولاسیون از هر خانواده) برای انجام شبیه سازی ها استفاده شدند و شناسایی همگی آن ها حتی در SNR های پائین و با دقت بالا انجام شد. تعداد مدولاسیون های کاندید در روش پیشنهادی، تقریباً دو برابر روش راب است و همچنین مدولاسیون های کاندید، توزیع یکنواختی روی سه خانواده دارند. جمع بندی این مقایسه در جدول (۶) آورده شده است.

جدول ۴. نتایج شبیه سازی گام دوم بعد از بهینه سازی

مدولاسیون	SNR=1dB	SNR=5dB	SNR=10dB
2ASK	%100	%99	%98
4ASK	%100	%100	%99
8ASK	%100	%100	%100
16ASK	%100	%100	%100
32ASK	%100	%100	%100
2PSK	%100	%100	%100
4PSK	%100	%100	%100
8PSK	%100	%100	%100
16PSK	%100	%99	%97
32PSK	%100	%98	%96
2FSK	%100	%100	%100
4FSK	%100	%100	%100
8FSK	%100	%100	%100
16FSK	%100	%99	%98
32FSK	%100	%99	%97

جدول ۵. درصد شناسایی صحیح نوع مدولاسیون ها توسط روش راب [۳]

Modulation Type	SNR=1dB	SNR=5dB	SNR=10dB
BPSK	%100	%100	%100
QPSK	%100	%99/5	%98
8PSK	%100	%99	%97
BFSK	%100	%100	%99
8QAM	%100	%100	%99
16QAM	%100	%100	%100
64QAM	%100	%100	%100
256QAM	%100	%100	%100

جدول ۶. مقایسه روش پیشنهادی با روش راب

نام روش	مدولاسیون های مشترک	حداقل دقت در SNR	سادگی	تعداد مدولاسیون های کاندید
روش پیشنهادی در این مقاله	دارای دقت شناسایی صد درصد در تمامی SNR ها	با توجه به استفاده از روش خوش بندی و سعی در استفاده از کلاس بند های ساده تر، می توان گفت که از روش راب ساده تر است.	۱۵ مدولاسیون با توزیع یکنواخت روی سه خانواده ASK, PSK, FSK	
روش راب	دارای حداقل دقت شناسایی ۹۷ درصد برای ۸PSK مدولاسیون درصد برای ۹۸ QPSK مدولاسیون درصد برای ۹۹ ۱۰۰ BFSK و ۱۰۰ MDSL مدولاسیون درصد برای SNR=1dB در BPSK	توضیحی داده نشده است	۸ مدولاسیون با توزیع غیر یکنواخت روی خانواده های PSK, FSK, QAM	

دقت: همان گونه که از جدول (۴) پیداست، روش پیشنهادی در این مقاله دارای دقت صد درصد در تمامی مقداری سیگنال به نویز برای مدولاسیون های مشترک با روش راب (BPSK, QPSK, 8PSK) است.

سادگی: در تمام روش های شناسایی کور نوع مدولاسیون، بعد از آشکار سازی سیگنال، به تخمین پهنای باند و فرکانس حامل جهت جداسازی و پردازش سیگنال نیاز است و این مسئله به عنوان اشتراک در حجم محاسبات لحاظ نمی شود [۱۰].

روش راب از دو ویژگی "تابع نمایی انحراف استاندارد فاز" و "انحراف استاندارد فاز درجه بندی شده با استفاده از پوش سیگنال" استفاده می کند. روابط این ویژگی ها در زیر آورده شده اند [۳]:

$$\text{feature1} = \exp \left[ \sqrt{\left( \frac{1}{N} \sum_{n=1}^N \varphi_n^2 \right) - \left( \frac{1}{N} \sum_{n=1}^N \varphi_n \right)^2} \right] \quad (8)$$

$$\text{feature2} = \sqrt{\left( \frac{1}{N} \sum_{n=1}^N (\text{ENV. } \varphi_n)^2 \right) - \left( \frac{1}{N} \sum_{n=1}^N \text{ENV. } \varphi_n \right)^2} \quad (9)$$

که در آن، N تعداد نمونه در هر قاب زمانی، φ<sub>n</sub> فاز هر نمونه،

## ۶. مراجع

- [1] Sherbaf Tabrizi, S.; Kademi, M.; Molavi Kakhaki, M. "Blind Classification of Communication Modulations with Support Vector Machines"; Iran's Electrical and Computer Eng. J., Fifth Year, Number Two, 2009 (In Persian).
- [2] Dobre, O. A.; Abdi, A.; Bar-Ness; Su, W. "Survey of Automatic Modulation Classification Techniques: Classical Approaches and New Trends"; IET Communications 2007, 2, 137-156.
- [3] El Rube, I. A. H.; El-Madani, N. E. D. "Cognitive Digital Modulation Classifier Using Artificial Neural Networks for Ngns"; In Proc. Of Seventh Int. Conf. on Wireless and Optical Communications Networks 2010, 1-5.
- [4] Xu, J. L.; Zhou, M.; Su, W. "Discrete Likelihood Ratio Test for Intelligent Signal Recognition in Software Defined Radio"; In Proc. of 19th Annual Wireless and Optical Communications Conf. 2010, 1-6.
- [5] Prakasam, P.; Madheswaran, M. "Modulation Identification Algorithm for Adaptive Demodulator in Software Defined Radios Using Wavelet Transform"; Int. J. Signal Proc. 2009, 1, 74-81.
- [6] Su, W.; Lei, Z.; Li, H.; Han, T. "The Research of Modulation Recognition Algorithm Base on Softwore Radio"; In Proc. of 2nd Int. Conf. on Computer Eng. and Tech. 2010, 308-312.
- [7] Attar, A. R. "Recognition of Modulation Type and Protocol in Military Communication Systems"; Master's Thesis, Shiraz Univ. 2004 (In Persian).
- [8] Bagga, J.; Tripathi, N. "Analysis of Digitally Modulated Signals Using Instantaneous and Stochastic Features for Classification"; Int. J. Soft Computing and Eng. 2011, 2, 57-61.
- [9] Ebrahimzade, A.; Seyedin, A. "Digital Signal Types Identification Using a Hierarchical SVM-based Classifier and Efficient Features"; In Proc. of Int. Conf. on Computing: Theory and Applications 2007, 521-525.
- [10] Binaee, M. B. "Design, Simulation and Fabrication of Signal Processing Part of Eavesdropping Modem System"; Master's Thesis, Sattari Univ., 2007 (In Persian).
- [11] Proakis, G.; Salehi, M. "Digital Communications"; McGraw-Hill, 2008.
- [12] Burges, C. J. C. "A Tutorial on Support Vector Machines for Pattern Recognition"; Data. Min. Knowl. Disc. 1998, 1, 955-974.

## ۵. نتیجه‌گیری

در این مقاله، روشی جهت شناسایی کور مدولاسیون سیگنال دریافتی به روش خوشبندی ارائه شد. این روش دارای دو گام بود که در گام اول، خانواده مدولاسیون و در گام دوم مرتبه مدولاسیون مشخص می‌شد. گام اول دارای درصد تشخیص صحیح ۱۰۰٪ در تمامی SNR ها و برای تمامی کلاس‌ها بود. در گام دوم حداقل دقت SNR=۰dB PSK در ۹۸/۶٪ است و با زیاد شدن نسبت سیگنال به نویز، درصد تشخیص صحیح افزایش می‌یابد.

در روش پیشنهادی با تقسیم مسئله تشخیص خودکار مدولاسیون به دو گام و انجام خوشبندی سعی شد تا در هر خوشه، مناسب‌ترین ویژگی جداسازی از نظر نیاز به پیش‌پردازش کمتر و توانایی جداسازی مطلوب انتخاب شود و در نهایت در هر خوشه با توجه به شرایط، از کلاس‌بندهای ساده‌تر با عملکرد مطلوب‌تر استفاده شود. از مهم‌ترین خصوصیات روش پیشنهادی می‌توان به دقت شناسایی بالا، شناسایی به طور کامل کور، سادگی و تعداد زیاد مدولاسیون‌های قابل شناسایی اشاره کرد. مقایسه روش پیشنهادی با روش راب نیز نشان داد که روش ارائه شده در این مقاله از نظر دقت شناسایی، سادگی و تعداد مدولاسیون‌های قابل شناسایی بر روش راب برتری دارد.

می‌توان در آینده، امکان انجام روش پیشنهادی را برای مدولاسیون‌های خانواده‌های دیگر نظیر QAM بررسی کرد تا روشی جامع برای تشخیص خودکار مدولاسیون‌ها ایجاد شود.